

2k610/10

本書系根据苏联冶金出版社出版的斯拉文斯基著，
伏尔增訂的“元素的物理化学性質”1952年版譯出。

中譯本分为上下兩冊出版，上冊包括第一章至第三
十五章，下冊包括第三十六章至第六十四章。

書中叙述了週期系中各元素的物理化学性質及各种
化合物的制取方法。介绍了自各种矿石和原料中提取
元素的一般方法和各种合金的性能及其主要的工業用途。

本書可以作为冶金工业各企業及科学硏究机关工程
技术人員的参考書，也可以作为高等学校和中等技术学
校冶金專業学生的参考書以及普通化学和無机化学方面的
的教学参考書。

原書評閱者为教授 H. A. 菲林博士，技术科学副博
士 E. C. 施皮欽涅茨基和工程师 И. А. 罗盖尔別格。

此譯本为下冊，由黃張添、徐有成、周立翻譯，周
立、鐘攸如校閱。

01209

目 录

下 册

第三十六章 鉻	1
第一节 在自然界中的分佈和制取方法	1
第二节 物理性質	2
第三节 化学性質	5
第四节 鉻的工業用途	10
第三十七章 鎳	12
制取方法和性質	12
第三十八章 氮	13
第一节 在自然界中的分佈和制取方法	13
第二节 物理性質	13
第三节 化学性質	14
第四节 氮的工業用途	16
第三十九章 磷	17
第一节 在自然界中的分佈、制取方法和同素異形現象	17
第二节 白磷的物理性質	17
第三节 紅磷的物理性質	18
第四节 黑磷的物理性質	19
第五节 磷的化学性質	19
第六节 磷的工業用途	22
第四十章 砷	24
第一节 在自然界中的分佈和制取方法	24
第二节 物理性質	24
第三节 化学性質	26
第四节 砷的工業用途	32
第四十一章 鋼	34
第一节 在自然界中的分佈和制取方法	34
第二节 物理性質	35
第三节 化学性質	40

第四节	鎳的工業用途	46
第四十二章	鋁	48
第一节	在自然界中的分佈和制取方法	48
第二节	物理性質	19
第三节	化学性質	57
第四节	鋁的工業用途	64
第四十三章	鉻	65
第一节	在自然界中的分佈和制取的方法	65
第二节	物理性質	65
第三节	化学性質	70
第四节	鉻的工業用途	77
第四十四章	鉬	81
第一节	在自然界中的分佈和制取方法	81
第二节	物理性質	81
第三节	化学性質	85
第四节	鉬的工業用途	90
第四十五章	鎢	92
第一节	在自然界中的分佈和制取方法	92
第二节	物理性質	93
第三节	化学性質	104
第四节	鎢的工業用途	111
第四十六章	鈾	114
第一节	在自然界中的分佈和制取方法	114
第二节	物理性質	115
第三节	化学性質	116
第四节	鈾的工業用途	121
第四十七章	氣和臭氣	123
第一节	氣在自然界中的分佈和制取方法	123
第二节	氣的物理性質	123
第三节	臭氣，生成臭氣的条件	128
第四节	臭氣的物理性質	129
第五节	臭氣的化学性質	130
第六节	臭氣在气体中的实际意义	131

第七节	氣的工業用途	132
第四十八章	硫	133
第一节	在自然界中的分佈和制取方法	133
第二节	物理性質	133
第三节	化学性質	136
第四节	硫的工業用途	139
第四十九章	硒	141
第一节	在自然界中的分佈和制取方法	141
第二节	物理性質	141
第三节	化学性質	146
第四节	硒的工業用途	149
第五十章	碲	150
第一节	在自然界中的分佈和制取方法	150
第二节	物理性質	151
第三节	化学性質	153
第四节	碲的工業用途	156
第五十一章	鉢	159
第一节	制取方法和性質	159
第二节	鉢的工業用途	159
第五十二章	錳	161
第一节	在自然界中的分佈和制取方法	161
第二节	物理性質	162
第三节	化学性質	167
第四节	錳的工業用途	175
第五十三章	鈷和銳	177
第一节	在自然界中的分佈和制取方法	177
第二节	銳的物理性質	178
第三节	銳的化学性質	179
第四节	銳的工業用途	182
第五十四章	鹵素	183
第一节	在自然界中的分佈和制取方法	183
第二节	氟的物理性質	183
第三节	氟的化学性質	184

第四节	氯的物理性質	185
第五节	氯的化学性質	186
第六节	溴的物理性質	188
第七节	溴的化学性質	189
第八节	碘的物理性質	190
第九节	碘的化学性質	191
第十节	氯、溴及碘的过鹵素鹽	192
第十一节	由鹵氣酸鹽类生成的某些二元系和三元系熔度 狀態圖	192
第十二节	鹵素同金屬生成的复鹽及絡合鹽在冶金中的应用	195
第五十五章	鐵	197
第一节	鐵在元素週期表中的位置	197
第二节	在自然界中的分佈和制取純鐵的方法	197
第三节	物理性質	198
第四节	化学性質	202
第五节	鐵的工業用途	218
第五十六章	鈷	220
第一节	在自然界中的分佈和制取方法	220
第二节	物理性質	221
第三节	化学性質	225
第四节	鈷的工業用途	231
第五十七章	鎳	235
第一节	在自然界中的分佈和制取的方法	235
第二节	物理性質	238
第三节	化学性質	245
第四节	在熔煉过程中各种气体对鎳的作用	255
第五节	鎳的工業用途	257
第五十八章	釤	260
第一节	在自然界中的分佈和制取方法	260
第二节	物理性質	261
第三节	化学性質	263
第四节	釤的工業用途	265
第五十九章	鈮	266

第一节	在自然界中的分佈和制取方法	266
第二节	物理性質	266
第三节	化学性質	269
第四节	銣的工業用途	271
第六十章	鈀	273
第一节	在自然界中的分佈和制取方法	273
第二节	物理性質	273
第三节	化学性質	276
第四节	鈀的工業用途	285
第六十一章	鐵	287
第一节	在自然界中的分佈和制取方法	287
第二节	物理性質	287
第三节	化学性質	289
第四节	鐵的工業用途	292
第六十二章	錳	293
第一节	在自然界中的分佈和制取方法	293
第二节	物理性質	293
第三节	化学性質	295
第四节	錳的工業用途	299
第六十三章	鉑	300
第一节	在自然界中的分佈和制取方法	300
第二节	物理性質	301
第三节	化学性質	306
第四节	鉑的工業用途	313
第六十四章	钪副族金屬	315
第一节	在自然界中的分佈、由矿石制取方法及其特性	315
第二节	钪	320
第三节	钇	322
第四节	釔	324
第五节	镥	324
第六节	铈	327
第七节	铈族稀土元素(镨、钕、钐)	333
第八节	钇族稀土元素(镝、铽、釤、铥、镱、镥)	337
第九节	鋯族稀土元素(铕、钆、铽)	339
第十节	钪副族金屬的工業用途	342

第三十六章 鉭

第一节 在自然界中的分佈和制取方法

若按地球化学家的計算，銳在地壳中的含量為 $6 \times 10^{-5}\%$ ，那么鉭的儲量便小于此量若干倍，而計算為 $2 \times 10^{-5}\%$ ，也就是从在地壳中分佈的觀點來看，這兩種金屬是稀有金屬。雖然如此，但鉭已經和銳一樣都在以工業規模進行生產。

鉭的主要矿物和銳一样，是鉭鐵矿和鉬鐵矿 $[(Fe, Mn) \cdot (Nb, Ta)_2 \cdot O_6]$ 以及鈦銳酸鈉鈰矿 $[(Na, Ce, Ca)(Nb, Ti)O_3]$ [554]。

鉭是和銳同时被發現的，因为鉭和銳的分离有很大困难，所以很長時間既沒有純銳，也沒有純鉭，也沒有研究過組成复杂的鉭銳合金的性質（當鉭和銳熔融時生成連續一系列的固溶體）。

鉭的顏色類似鉑金屬。磨光的鉭具有亮灰色，而復有氧化物薄膜——微蘭色。

文献所載制取鉭的方法，基於用碳，鋁和鹼金屬在其鹵化物存在下還原五氧化鉭 Ta_2O_5 ，或有氯化鈣和氯化鈉熔劑存在下以鈣還原。

用混合稀土金屬還原同一鉭的氧化物時可制得純度為99%的金屬。已知，尚有用鹼金屬還原鉭的鹵化物和复鹽 K_2TaF_7 的制取鉭的方法。

有些应用电解熔融 Ta_2O_5 来制取金属鉭，电解槽內的成分为： Ta_2O_5 200份， K_2TaF_7 220份，KF 360份和KCl 1100份，石墨坩埚為陽極，用鉭或鎳的陰極。普羅特尼可夫和格拉茨安斯基确定了应用在 250° 时电解 $TaCl_5 + AlCl_3 + NaCl$ 或 $TaCl_5 + NaCl$ 鹽水溶液的方法制取鉭的可能性。

为制得致密狀的鉭粉，要使其在真空中高温下进行压制和燒結。用这种方法，或較少用的在真空中再熔化以其他任何方法制备的金屬，都可以得到可塑性的（可鍛的）鉭。

工業用鉭的純度一般不超过 99.5%，更高純度的金屬可含 Ta 至 99.9% [24, 98]。

第二节 物理性質

密度 对高純度鉭(99.9% Ta)用比重瓶法測定比重为 16.55~16.62，按其数值和 X 射綫照相法測得的比重 16.654 很接近。細絲狀鉭的密度測定为 16.5 克/厘米³。

机械性能和压力加工性能 甚至少量杂质的存在也会对鉭的硬度發生显著地影响。这也就是在文献中所举关于各研究者測定鉭硬度的数据有显然差别的原因。例如根据一些研究者的数据，鉭的布氏硬度为 30~40 仟克/毫米²，同时根据另一些研究者的数据，其布氏硬度在 40~220 仟克/毫米² 范圍內，而当鉭中有溶解的氫时則达到 600 仟克/毫米²。

退火状态的純鉭具有高的可塑性、可鍛性和韌性，甚至不經過中間退火就可以冷軋成約 0.04 毫米厚的薄板，和拉成直徑 0.03 毫米的絲。

在 900° 时用鈉还原 K_2TaF_7 而制得具有高可塑性的鉭，于真空中 2500° 下燒結后，便可在冷态下进行拉絲和模鍛。用这种鉭絲来弯曲和卷成螺旋綫沒有困难。

鉭中存在相当小量的可溶性气体或碳便会使其可塑性变坏。例如，氫含量大于 0.1% 时，鉭具有高的脆性。鉭在真空中加热，可保証除去氫气，并显著地提高金属的可塑性。

加工硬化后鉭的强度極限，根据加工硬化的程度 在 90~120 仟克/毫米² 之間，而延伸率为 2~3%，經過退火的鉭，上述性質分别为 35~50 仟克/毫米² 和 10~15%。

鉭絲的强度極限为 91.5 仟克/毫米²，彈性模数 18820~19200 仟克/毫米²，扭曲模数—6300 仟克/毫米² [47]。

可压缩性 很純的鉭絲的可压缩系数測定，在 30° 时为 0.479×10^{-6} ，在 75° 时为 0.492×10^{-6} [24]。

熔点 經过多次的測定，鉭的熔点在 2800°~3030° 范圍內。

在大多数的现代手册中所采用的钽的熔点为 2850° 。

沸点和蒸发热 文献所载钽的沸点数值极不一致，在 $4100^{\circ} \sim 6100^{\circ}$ 范围内变动。看来最可能的为用光学法求得的沸点 5300° [208]。

钽在真空中加热，当 2200° 时开始挥发。钽在真空中于不同温度下加热时重量损失的数值为：

温度, $^{\circ}\text{C}$	2360	2376	2427	2464	2531	2577
------------------------------	------	------	------	------	------	------

蒸发热, 克/厘米 $^2 \times 10^7$	2.88	2.8	4.38	6.59	16.0	23.0
----------------------------------	------	-----	------	------	------	------

在温度 2727° 和压力760毫米水银柱时，测得钽的蒸汽压为0.00114毫米水银柱，而蒸发热测定为123卡/克[304]。

热容 在低温下钽的平均比热数值如下：

温度间隔, $^{\circ}\text{C}$	-183 ~ -78	-78 ~ +14	14 ~ 1
--------------------------------	------------	-----------	--------

比热, 卡/克, $^{\circ}\text{C}$	0.028	0.032	0.038
-----------------------------------	-------	-------	-------

正如专门进行的研究所证明，在钽中甚至存在少量被溶解的氯时，钽的比热在低温($-220 \sim +25^{\circ}$)时即显著地增高。

在高温时钽的真比热为：

温度, $^{\circ}\text{C}$	100	300	500	700	900
------------------------------	-----	-----	-----	-----	-----

热容, 卡/克, $^{\circ}\text{C}$	0.03364	0.03450	0.03540	0.03632	0.03726
-----------------------------------	---------	---------	---------	---------	---------

温度, $^{\circ}\text{C}$	1100	1300	1500	1600
------------------------------	------	------	------	------

热容, 卡/克, $^{\circ}\text{C}$	0.03823	0.03923	0.04026	0.04078
-----------------------------------	---------	---------	---------	---------

钽在 $1377 \sim 2527^{\circ}$ 温度间的比热，可由下式测出：

$$C_p = 0.0264 + 8.5 \times 10^{-6} T \text{ 卡/克} \cdot ^{\circ}\text{C}.$$

式中 T —— 绝对温度[208, 304, 305]。

导热度 1925年所完成的对钽的导热度的测定曾得出如下数值： 17° 时为0.130卡/厘米·秒、 $^{\circ}\text{C}$ ， 100° 时为0.129卡/厘米·秒、 $^{\circ}\text{C}$ 。

由纯度99.9% Ta的金属拉成的直径0.254毫米和长400毫米的钽丝，其导热度的数值大大地降低： 0° 时为0.086卡/厘米·秒、 $^{\circ}\text{C}$ ， 100° 时为0.045卡/厘米·秒、 $^{\circ}\text{C}$ [24, 306]。

热膨胀 钽的线膨胀系数在 $0 \sim 100^{\circ}\text{C}$ 间时每 1°C 为 $6.57 \times$

10^{-6} 。鉭在更高溫度 $0 \sim 300^\circ$ 間的線膨脹系數可由下式測得 [24]。

$$\alpha_t = \alpha_0 [1 + (6.59t + 0.0008t^2) 10^{-6}]$$

純度 99.9% 的鉭，在溫度 $100^\circ \sim 300^\circ\text{K}$ 間的線膨脹系數之變化如圖 57 所示。圖上表示出格留涅依普所繪制的理論曲線，並以點標出了試驗的数据[81]。

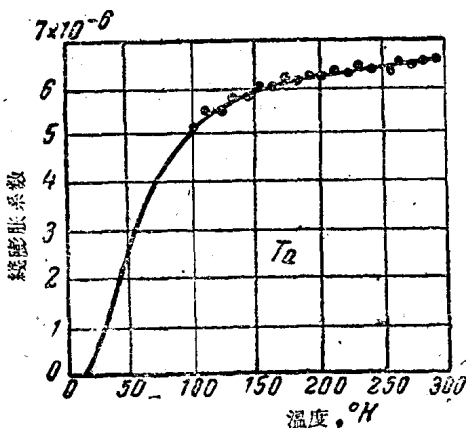


圖 57 鉭的線膨脹系數隨溫度的變化（格留涅依普曲線和試驗測得的點[81]）

电阻和电阻温度系数 由純度 99.9% 金屬鉭拉成直徑 0.254 毫米和長 400 毫米的鉭絲，用电學性質測定的方法，測得在各種溫度時鉭的電阻為：

溫度, $^\circ\text{C}$ -195.9 0 100.2

比電阻, 欧姆·厘米 $\cdot 10^6$ 2.46 12.41 17.18

鉭在 $0^\circ \sim 100^\circ$ 間的電阻溫度系數，由上述的電阻絕對值測得每 1°C 為 0.00385[306]。

鉭在 -180° 到 2000° 間的電阻對 20° 時的電阻之比，以下列數字表示：

溫度, $^\circ\text{C}$ -180 0 100 200 600 1000 1400 1600 2000

R_t/R_{20} 比值 0.34 0.94 1.27 1.59 2.76 3.86 4.61 5.32 6.34

在很低溫度（低於 4.2°K ）下，鉭變成超導體。鉭轉變成超

导体状态的转化点根据戈里克，拉扎列夫和霍特凯维奇的数据 [307,308]，显然是取决于压力冷加工和吸收气体后出现的晶格歪曲程度。例如，饱和氢的钽样品甚至在 1.85°K 时都不呈现超导体。

布里德日曼确定了在 0~12000 仟克/厘米² 范围内，压力对钽的电阻的影响；他测得，在 25° 时压力系数的平均值为 -0.000001444，而在 100° 为 -0.000001486。

第三节 化学性质

化学活性 钽的化学稳定性和铂接近，因为它良好地抵抗矿物酸（氟氢酸除外）和王水的作用。熔融的鹼和熔融的氧化剂，热鹼液和游离溴对钽作用时，使钽显著地被腐蚀。此外，钽易和气体作用（吸收气体）。当在氯气流中使钽加热时生成五氯化钽 TaF_5 。

钽和氢 各种试验证明，钽无论在常温和高温下均剧烈地溶解氢。因此，早在本世纪初，就发现在钽电极间分解水时，阴极溶有氢气，而变得极脆。

在氢气中加热钽粉时，氢气被吸收，而金属钽转变为氢化物的黑色粉末，在常温下氢化钽于空气中是稳定的。

与钒和铌一样，钽中氢的溶解度在室温下最大，随温度升高而减少。比如，若在室温和大气压下，氢气在钽中的溶解度为 0.42%，它相当于分子比 $\frac{H}{Ta} = 0.8$ ，在温度 1000° 和同样压力下，这一比值仅仅是 0.03。当 400~500° 以上时，氢气在钽中的溶解度和压力平方根成正比。基于氢的溶解度随温度升高和压力降低而减少的这一性质，而提出了在真空中于 1000° 以上加热钽来除去钽中所溶解的氢的方法。

用 X 射线照相研究钽—氢系统而确定，钽同氢生成组成为： Ta_2H 和 TaH 的氢化钽。氢在钽中的溶解度测定，在 600° 时原子百分数为 12[214,291]。

麦尔松，卡茨和霍赫洛娃 [125] 在 1050~1100° 下用氢化钙

还原五氧化鉨 Ta_2O_5 ，制得了均匀的細晶粒粉末狀氫化鉨（含氫 0.5~1.2 重量%）。

鉨和氧 在室溫下鉨抵抗氧化作用極為良好；當加熱超過 400°時，鉨便迅速地復蓋上一層氧化色，最後轉變為五氧化鉨。如果氧的分壓小於 20 毫米水銀柱，未看到鉨的氧化。在 300° 以下時，水蒸汽對鉨不起作用；在 700~800° 時，水便開始分解，而放出氫氣。

用鉨分解二氧化硫，在 500° 時就生成硫和五氧化鉨。這種氧化的生成物是五氧化鉨 Ta_2O_5 ，已知它有不定形的和結晶形的兩種狀態。因為五氧化鉨隨焙燒程度的不同而有不同的比重，所以很難在多次測定中選擇符合實際的數值。各研究者測定五氧化鉨的密度為 7.35~8.735 克/厘米³。

五氧化鉨的生成熱為 +499.9 仟卡/克分子。五氧化鉨是相當穩定的，甚至在高溫時都不被氫還原。鹵素及其與氫的化合物，還有礦物酸都不和 Ta_2O_5 作用；只有氟化氫才能使焙燒後的五氧化物變為揮發性的氟化物。

當加熱到 ~1300° 時，五氧化鉨被碳還原成三氧化鉨 Ta_2O_3 。用鋁還原五氧化鉨便得到鋁鉨合金。

依斯科爾德斯基和紹霍爾[62]用鈣還原 Ta_2O_5 的還原反應未能進行到底：結果得到的不是金屬鉨，而是含有 TaO_2 (Ta_2O_4)杂质的鉨酸鈣。

- 在人工製造的條件下，制得了鉨的低價氧化物 Ta_2O_2 、 Ta_2O_3 和 Ta_2O_4 。例如二氧化鉨是在氟鉨酸鉀和鉀熔融時製得的。這種鉨的氧化物在空氣中能氧化成五氧化鉨的黑色粉末。各研究者關於三氧化鉨 Ta_2O_3 存在的意見還不一致；可是穆斯桑認為在 1250° 溫度下用碳還原時，五氧化鉨就轉變為三氧化鉨，其他研究者一般來說都懷疑三氧化鉨的存在。

當電解水時，由於鉨陽極氧化的結果而生成四氧化鉨 Ta_2O_4 。根據某些研究數據，在 1700° 下用碳還原五氧化鉨時也生成四氧化鉨。

四氧化鉬是暗灰色粉末，不溶于王水和酸中；在空气中加热氧化为五氧化鉬。

所以在制造含鉬合金的条件下，如果生成低价的氧化鉬，那么在加热时全轉变为在此条件下唯一稳定的五氧化鉬 Ta_2O_5 。

鉬和硫 当硫和鉬加热超过 100° 时，它們之間开始相互作用，在較高的溫度下，其作用很剧烈，并使得生成硫化鉬 TaS_2 。当加热五氧化鉬和硫的混合物，在硫化氢气流中加热鉬等，也能生成硫化鉬。硫化鉬至少在 1300° 以下是稳定的；在氢气中加热时，硫化物是稳定的，而在氧气中加热或在空气中加热时， TaS_2 剧烈地被氧化。無論冷水或热水，都像矿物酸一样和硫化鉬不起作用。

对鉬一硫系統的研究确定，除掉組成为 TaS_2 的硫化鉬以外，在此系統中还存在三硫化鉬 TaS_3 和次硫化鉬 TaS_n （式中 n 为 $1.9 \sim 1$ 和 $1 \leq n < 0.3$ ）。各种硫化鉬的密度測定为： $TaS_3 \approx 5.76$ ； $TaS_2 \approx 6.96$ ；亞硫化鉬 $TaS_{1.41} \approx 7.95$ 克/厘米³。在不同溫度下，硫化鉬中硫的蒸汽压如圖 58[309]之曲綫所示。

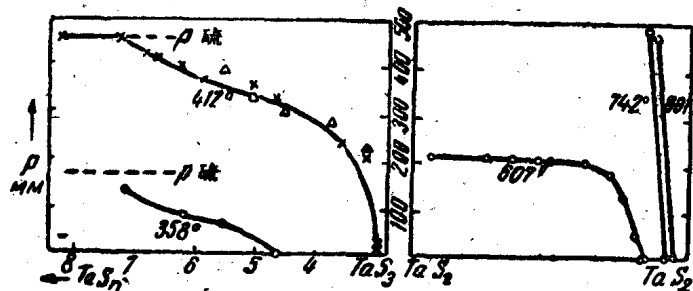


圖 58 硫化鉬中硫的蒸汽压和溫度的关系

鉬和氮 鉬在氮气氣中加热时，能与氮發生反应，而从 $700^\circ \sim 900^\circ$ 开始生成氮化鉬。

在所生成的鉬的氮化物成分方面，各研究者的意見还不一致。其中多数的研究者認為，在此氮化物系統中最大可能存在的成分为 TaN ，可是赫格認為，氮化鉬分子式为 Ta_2N ，而根据許

多其他研究者的意見，在氮气中在 1000° 下加热鉬所得到的氯化鉬，其分子式相当于 Ta_2N_2 。此外，在文献中也指出 鉬和 氮可能生成組成为 Ta_3N_5 的氯化鉬；这是不定形黃色物質，受热时燃燒。

因为認為組成为 TaN 的氯化鉬存在之可能性最大，所以研究过的氯化鉬的性質正是这一化合物的性質。氯化鉬 TaN 是灰色或黑色帶金屬光澤的結晶物質，比重为 14.1。此化合物的生成热測定为 +58.1 仟卡/克分子，熔点为 $3087 \pm 50^{\circ}$ ，而在 1170° 时的分解压为 $0.4 \sim 0.5$ ，在 1308° 时为 $0.8 \sim 1.2$ 毫米水銀柱。氯化鉬的热容，在 0° 时为 10.23 仟卡/克分子，比电阻为 135.00 微歐姆·厘米，轉变为超导体状态的溫度为 $1.88^{\circ}K$ 。氯化鉬 TaN 不被水分解，而当其氧化为 Ta_2O_5 时放热 191.37 仟卡/克分子 [24, 208, 214]。

鉬和磷 当鉬片和磷共同加热到 550° 时，则發現此二元素的部分化合。在更高的溫度(750°)和更高的压力下，磨細的鉬粉和磷粉互相反应的結果得到磷化鉬。同时确定了存在有兩种磷化鉬：双晶形的一磷化鉬 TaP 和二磷化鉬 TaP_2 。

在制取一磷化鉬时，起初制得的是其不稳定的变体，而当进一步加热时轉变为稳定的变体。

磷化鉬 TaP_2 在真空 ($10^{-2} \sim 10^{-3}$ 毫米) 溫度 $800 \sim 900^{\circ}$ 下加热时会失去磷而轉变成不稳定的磷化鉬，在 950° 下轉变为稳定的—磷化鉬。 TaP_2 在氧气中加热时氧化得很緩慢。

磷化鉬 TaP 的密度測定为 10.85，而 TaP_2 — 8.41 克/厘米³。

兩种磷化鉬对化学試剂都是稳定的。磷化鉬 TaP_2 可为热苛性鈉破坏。热硝酸能剧烈的和 TaP_2 全部起作用，使其轉变为五氧化鉬 [310]。

五氧化磷在 $700 \sim 800^{\circ}$ 时能被鉬还原而放出磷。

鉬和碳 存在痕量的碳会使鉬变为較硬的金屬，而同时不降低其可鍛性，可是，再增加碳的含量时，鉬就变脆。这是因为鉬和碳生成化合物碳化鉬的原故所致。

碳化鉬可用各种不同方法得到：在 1500° 时加碳使五氧化鉬

Ta_2O_5 中的鉭进行滲碳作用；溶解碳在液体鉭中；燒結鉭粉和碳；在燒紅的鈮絲表面上將鉭的鹵化物用氫和碳氫混合物进行还原；把鉭溶解在石墨坩埚中熔融并过热到 2000° 的鋁中，然后再以鹽酸溶解殘余的鋁和碳化鉭。

用后一方法制得的碳化鉭 TaC 呈金黃色的結晶，其密度为 14.85 克/厘米³。烏曼斯基在鉭片表面上用气体介質滲碳的方法制得的碳化鉭也具有同样的顏色[214]。

布勒盖尔斯和巴扎尔特[214]在氬和五氯化鉭 $TaCl_5$ 气氛中，在 $2000^\circ \sim 2500^\circ$ 溫度下煅燒碳絲得到了碳化鉭；他們确定，这时所生成的碳化鉭的分子式相当于 TaC 和 Ta_2C 。

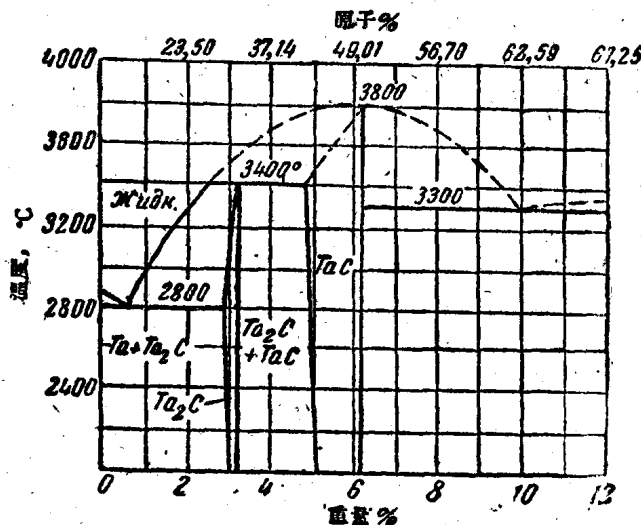


圖 59 鉭—碳系統合金狀態圖

以鉭和石墨的混合物，或鉭和鉭碳合金的混合物做成团塊，在真空（在高週波电爐中）中燒結制成的合金，应用热分析、金相分析、X 射綫照相分析方法而制定的 $Ta-C$ 系統状态圖，見圖 59[311]。

如圖所示，碳不溶于鉭中，如果含 0.6% C 在 2800° 时，则鉭和碳化鉭 Ta_2C 之簡便生成共晶体。此化合物系在 3400° 时，

由于 TaC 和含~2.5% 碳的液体之間包晶反应的結果而生成。

在含碳~10% 的 TaC 化合物和碳的系統中生成熔点为 3300° 的第二次共晶体。在溫度 2800° 时，鉭在 Ta₂C 中的最大溶解度为 0.2%，并随溫度降低而溶解度减小。含碳达 3% 的合金冷却后，在 Ta₂C 颗粒中間發現有析出鉭的中間層。

碳化鉭 TaC 具有高的熔点(3880°)。碳化鉭 TaC 的显微硬度在 1200~1547 仟克/毫米²的范围内[312, 221]。

在常压下碳化鉭 TaC 的沸点为 5500°。由元素生成 TaC 的生成热为 38.0 仟卡/克分子，比电阻(25°时) 30.00 微欧姆，厘米，导热度(在 23°) 0.0530 卡/厘米·秒°C，变为超导体状态的轉化点为 9.5°K。碳化鉭的化学性质和碳化銻很相似：它不溶于酸中，在氢气氛中被还原，在空气中加热到 800° 可被氧化。

某些鉭鹽的性質 氟化鉭、氯化鉭 和溴化鉭的性質見下表 [126]。

鹽类的化学式	顏色	熔点 °C	沸点 °C	固体鹽的比重
TaF ₅	無色	96.8	229.5	4.74
TaCl ₂	暗綠色	—	—	4.76
TaCl ₃	”	—	—	3.87
TaCl ₄	”	—	—	3.57
TaCl ₅	亮黃色	211.3	241.6	3.68
TaBr ₅	褐色	~240	~320	—

第四节 鉭的工業用途

鉭以純金屬状态和合金状态应用在工業上。

銅和鉭的合金在顏色，抵抗大气影响的化学稳定性等方面，可以作为黃金的代用品，此外这种合金还具有高的机械性能，由于它的硬度、可鍛性、不被氧化和其他性质，鉭可用于制造牙科和外科的器械、自来水笔尖、砝碼、留声机的唱針、鐘表彈簧，特别是在电解分离金和銀时用鉭作电極。在这种情况下，鉭陰極

同沉淀可一起用王水处理，但只有沉淀層溶解，而鉭電極保留不变。鉭也可以用做交流电整流器、內燃机閥，此处金屬需要有抵抗因燃料燃燒生成物而产生在高溫时的氧化作用。由于鉭有高的耐热性和吸气能力，所以适于用在超短波發射管的收气剂，这样在更高的溫度下也可以操作。

在普通金屬中，鉭是耐腐蝕性最大的金屬，所以，在强腐蝕性介質中操作的条件下广泛应用鉭鍍層。

阿法納謝夫[313]介紹应用鉭来制造高压釜和混合器。鉭也可代替鉑来制造各种化学器皿。在人造絲工業中鉭用来制造噴絲嘴，在化学工業中用来制造受腐蝕最大的仪器和泵的部件之鍍層。鉭可推荐来代替銀做火花接触的接头，和分析金屬鹽时作为陰極。由于高的强度、导热度和抗酸作用，使鉭可用来做为鹽酸和硫酸电热器的材料。

鉭鉑合金用在需要能耐各种試剂的作用和硬度比鉑更高的地方。含少量鋨的鉭鐵合金(70% Ta)，在鋼的生产中作为合金的添加剂以增高硬高。加入鉭的添加剂时，虽然提高了屈服極限和冲击韌性，但制得的工具鋼要次于鎢快速切削鋼。

用鎳作为接合金屬的陶瓷冶金硬質合金中也用 碳化鉭(87% TaC 和 13% Ni)。这样的硬質合金比鎢或鈦鎢硬質合金 具有更高的耐热性。

鉭和鐵的合金具有高的耐腐蝕性，但是由于不銹鋼成本低和用处多，并且加入少量鉭后能进一步改善它的性質，所以，鉭和鐵的合金在工業上还未得到应用。